

© 1991

СПИН-РЕШЕТОЧНАЯ РЕЛАКСАЦИЯ В УСЛОВИЯХ ЛОКАЛЬНОЙ КОНФИГУРАЦИОННОЙ НЕУСТОЙЧИВОСТИ

С. Б. Афанасьев, В. С. Вихнин

Показано, что в области локальной конфигурационной неустойчивости параметрических дефектов в результате возникновения туннельных состояний и их смешивания со спиновыми состояниями при близких туннельных и зеемановских расщеплениях возникает существенное ускорение спин-решеточной релаксации, обязанное вкладу не зависящего от спина взаимодействия дефекта с решеткой. Смешивание спиновых и туннельных состояний возникает в результате спин-орбитального спин-флип туннелирования и зависимости суперсверхтонкого взаимодействия от распределения дефекта по ямам многоямного потенциала. Существенное ускорение спин-решеточной релаксации позволяет интерпретировать уширение линий ЭПР, наблюдавшееся экспериментально в области локальной конфигурационной неустойчивости, и может служить методом ее индикации и исследования.

Хорошо известно, что исследование спин-решеточной релаксации (СРР) в условиях неустойчивости кристаллической решетки дает важную информацию о природе фазовых переходов в матрице. В настоящей работе показано, что не менее важную роль исследование СРР может играть в ситуации локальной конфигурационной неустойчивости (ЛКН) — спонтанной перестройки потенциала дефекта с последующим понижением симметрии, которая соответствует изменению вида потенциала дефекта от одноямного к многоямному при понижении температуры. Эффект ЛКН наблюдался методами радиоспектроскопии и субмиллиметровой спектроскопии в ряде ионных кристаллов с различными примесями ($\text{BaF}_2 : \text{Mn}^{2+}$, $\text{KCl} : \text{Cu}^0, \text{Mn}^+$, $\text{SrF}_2 : \text{Mn}^+$) [1-4]. Существенное изменение вида потенциала дефекта в области ЛКН позволяет ожидать здесь появления новых механизмов СРР. Можно ожидать, что, как и в случае структурных фазовых переходов, при ЛКН исследование возможных аномалий СРР станет важным методом обнаружения и исследования ЛКН. Целью настоящей работы является рассмотрение новых механизмов СРР, которые появляются в области ЛКН.

Характерным свойством дефектов, подверженных ЛКН, является появление туннельных состояний в окрестности температуры $T_{\text{ЛКН}}$. Действительно, при ЛКН II рода при температуре $T \leq T_{\text{ЛКН}}$ вблизи $T_{\text{ЛКН}}$ существует область температур, где туннельное расщепление $\Delta_T(T)$ удовлетворяет неравенству $\Delta_T(T) > 1/\tau_T$, $\langle(\Delta U)^{2^{1/2}}\rangle$ ($1/\tau_T$ — скорость фазовой релаксации туннельных состояний, $\langle(\Delta U)^3\rangle^{1/2}$ — ширина функции распределения туннельных состояний во внутреннем поле дефектов). Эти условия накладывают ограничения сверху на величину локального параметра порядка $x_0(T)$ и требуют его относительно небольшой величины, так как Δ_T экспоненциально быстро падает с ростом $x_0(T)$, а величины $1/\tau_T$ и $\langle(\Delta U)^2\rangle^{1/2}$ растут как $1/\tau_T \sim [x_0(T)]^2$, $\langle(\Delta U)^2\rangle^{1/2} \sim x_0(T)$.

Тем не менее при этом критерий справедливости туннельного приближения предполагается выполненным: $S(T) \ll 1$ ($S(T)$ — интеграл перекрытия одноямных состояний), что накладывает ограничение снизу на величину $x_0(T)$. Таким образом, в не слишком широком интервале тем-

ператур ΔT при $T \leq T_{\text{ЛКН}}$, нижняя граница которого может быть определена из $\Delta_T(T) > 1/\tau_T$, $\langle (\Delta U)^2 \rangle^{1/2}$, а верхняя — из $S(T) \ll 1$, можно ожидать появления туннельных состояний.

В случае ЛКН I рода туннельные состояния образуются в области температур $T \approx T_{\text{ЛКН}}$ благодаря вырождению (или псевдовырождению) колебательных состояний в разных ямах потенциала [5] в ситуации, когда $\Delta_T(T) > 1/\tau_T$. Расчеты, проведенные в [5] для Mn^{2+} в BaF_2 , позволили обосновать появление туннельных состояний, возникающих в этом случае.

Важным обстоятельством, общим для туннельных состояний, возникающих при ЛКН II рода и ЛКН I рода, является температурная зависимость $\Delta_T(T)$. Как за счет температурной зависимости $\Delta_T(T)$, так и вследствие изменения величины магнитного поля в области ЛКН возможна реализация равенства $\Delta_T^{(i,j)} = (1/2)(g_i + g_j)\beta H$, когда туннельные состояния i и j , соответствующие различным проекциям спина, оказываются вырожденными. Именно эта ситуация, как показано в настоящей работе, приводит к ускорению CPP в области ЛКН.

Действительно, в подобной ситуации вырождения различных спиновых и туннельных состояний вследствие смешивающего их спин-туннельного взаимодействия могут возникать когерентные спин-туннельные состояния. В этом случае не зависящее от спина взаимодействие локального центра с решеткой, которое существенно превосходит по величине спин-решеточные взаимодействия, будет приводить к дополнительному механизму CPP вблизи ЛКН и существенно ускорять CPP в этой области. При этом в качестве смешивающего спин-туннельного взаимодействия главную роль могут играть как спин-орбитальное спин-флип туннелирование [6], так и сверхтонкое (суперсверхтонкое) и зеемановское взаимодействия.

В настоящей работе на примере конкретных центров, испытывающих ЛКН, исследованы механизмы ускорения CPP в области ЛКН, а именно рассматривалась CPP Mn^{2+} в BaF_2 [2], Mn^+ в KCl [1], Cu^0 в KCl [3].

1. Спин-решеточная релаксация в условиях локальной конфигурационной неустойчивости I рода. Эффект спин-туннельных состояний при смешивании вследствие суперсверхтонкого взаимодействия

В качестве примера рассмотрим CPP в области ЛКН I рода для paramagnитного центра Mn^{2+} в BaF_2 , где, следуя расчетам в [5], можно ожидать появления туннельных состояний в области ЛКН (туннельное расщепление $\Delta_T \sim 10^{10}$ Гц). Так как туннельное расщепление по величине соответствует обычно реализуемым в ЭПР зеемановским расщеплениям, здесь легко возникает возможность вырождения различных туннельных состояний с различными спиновыми волновыми функциями и как следствие — эффективное смешивание таких состояний.

Симметрия двух боковых T_x и центрального O_y минимумов потенциала здесь такова, что спин-туннельное смешивание вследствие спин-орбитального взаимодействия [6] оказывается запрещенным. Однако весьма эффективным в этом случае является смешивание различных спиновых и туннельных состояний вследствие изотропного суперсверхтонкого взаимодействия (CCTB). Оператор CCTB спина Mn^{2+} (S) с восемьмеркой ядер ионов F^- первой координационной сферы (I_j , $j=1, \dots, 8$) представляется в виде

$$\hat{\mathcal{H}}_{\text{CCTB}}^c = \hat{\mathcal{H}}_{\text{CCTB}}^{(a)} |a\rangle\langle a| + \hat{\mathcal{H}}_{\text{CCTB}}^{(b)} |b\rangle\langle b| + \hat{\mathcal{H}}_{\text{CCTB}}^{(c)} |c\rangle\langle c|, \quad (1)$$

$$\hat{\mathcal{H}}_{\text{CCTB}}^{(a)} = \left(a_1 \sum_{j=1}^4 I_j + a_2 \sum_{j=5}^8 I_j \right) S, \quad (2)$$

$$\hat{\mathcal{H}}_{\text{CCTB}}^{(b)} = \left(a_0 \sum_{j=1}^8 I_j \right) S, \quad (3)$$

$$\hat{\mathcal{H}}_{\text{ССТВ}}^{(c)} = \left(a_1 \sum_{j=5}^8 \mathbf{I}_j + a_2 \sum_{j=1}^4 \mathbf{I}_j \right) S. \quad (4)$$

Здесь различные слагаемые описывают ССТВ в разных минимумах многоядмного потенциала, a , b и c обозначают минимумы потенциала. Значения a_1 , соответствующее ядрам F^- , смещающимся от Mn^{2+} , a_2 , соответствующее ядрам F^- , смещающимся к Mn^{2+} , и a_0 , соответствующее случаю кубического окружения, были получены при исследовании ЭПР в [2]. Вклад в спин-туннельное смешивание анизотропного ССТВ $\hat{\mathcal{H}}_{\text{ССТВ}}^{\text{ан}}$ в случае Mn^{2+} в BaF_2 , как показывает расчет, мал в меру малости фактора $[\langle \psi_{M, m} | \hat{\mathcal{H}}_{\text{ССТВ}}^{\text{ан}} | \psi'_{M', m'} \rangle / g_I \beta_I H]$ по сравнению с матричными элементами изотропного ССТВ. Поэтому в дальнейшем мы будем учитывать лишь (1) в качестве спин-туннельного взаимодействия.

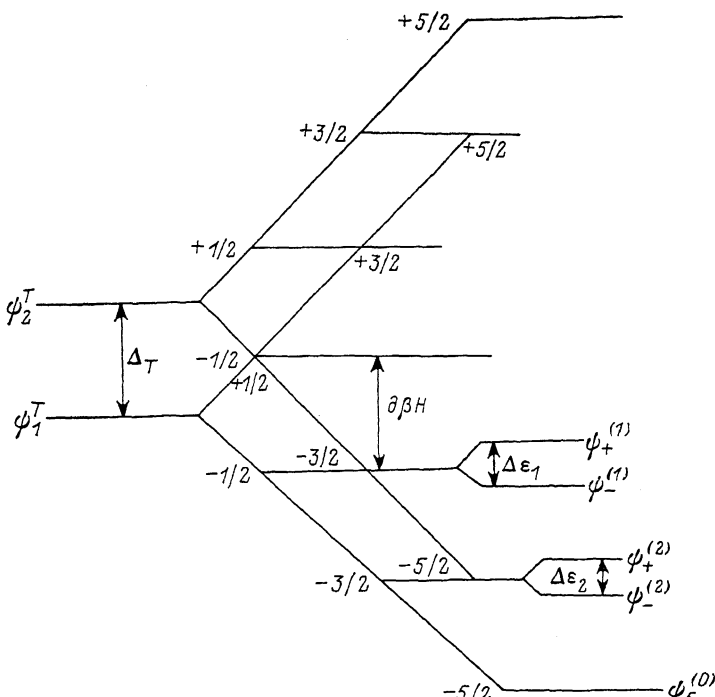


Рис. 1. Спин-туннельные состояния в случае $BaF_2 : Mn^{2+}$ при совпадении туннельного и зеемановского расщеплений ($\Delta_T = g^3 H$).

Смешивание вызывается зависимостью констант ССТВ от расстояния $Mn^{2+}-F^-$. ψ_1^T и ψ_2^T описывают туннельные состояния в многоядомном потенциале дефекта. Электронный спин $Mn^{2+} S = 5/2$. $\psi_+^{(1)}, \psi_-^{(1)}, \psi_+^{(2)}, \psi_-^{(2)}$ описываются (5)–(8). Ядерное зеемановское расщепление на рисунке не показано.

Тогда решение секулярного уравнения для состояний $\psi_1^T \eta_{-s_1} \varphi_0$ и $\psi_2^T \eta_{-s_2} \varphi_0$, $\psi_1^T \eta_{-s_1} \varphi_1$ и $\psi_2^T \eta_{-s_2} \varphi_0$ (ψ_i^T — туннельные волновые функции [5], η_m и φ_m — волновые функции электронного и ядерного спинов), попарно вырожденных в нашем случае, дает следующие спин-туннельные волновые функции первого приближения и значения спин-туннельных энергетических расщеплений (рис. 1) соответственно

$$\psi_+^{(1)} = 0.257 \psi_1^T \eta_{-s_1} \varphi_0 + 0.966 \psi_2^T \eta_{-s_2} \varphi_{-1}, \quad (5)$$

$$\psi_-^{(1)} = 0.966 \psi_1^T \eta_{-s_1} \varphi_0 - 0.257 \psi_2^T \eta_{-s_2} \varphi_{-1}, \quad (6)$$

$$\psi_+^{(2)} = 0.573 \psi_1^T \eta_{-s_1} \varphi_1 + 0.819 \psi_2^T \eta_{-s_2} \varphi_0, \quad (7)$$

$$\psi_{\perp}^{(2)} = -0.819 \psi_1^T \eta_{-s_{1/2}} \varphi_1 + 0.573 \psi_2^T \eta_{-s_{1/2}} \varphi_0, \quad (8)$$

$$\Delta \epsilon_1 \approx 70 \text{ МГц}, \quad (9)$$

$$\Delta \epsilon_2 \approx 105 \text{ МГц}. \quad (10)$$

В качестве примера исследуем CPP на переходе $\psi_{\perp}^{(1)} \rightarrow \psi_5^{(0)} = \psi_2^T \eta_{-s_{1/2}} \varphi_0$, при котором происходит изменение спинового состояния на $\Delta M = 2$. Для области ЛКН Mn^{2+} в BaF_2 , где $T_{ЛКН} \approx 45$ К, в CPP доминирующий вклад вносят двухфононные процессы, причем наибольший вклад вносит процесс с участием низколежащих возбужденных состояний (процесс Блюма—Орбаха [7]). В этом случае, используя промежуточные состояния $\psi_{\perp}^{(2)}$ и $\psi_{\perp}^{(2)}$ при формировании двухфононного процесса CPP [Блюма—Орбаха на однофононном, не зависящем от спина ион-решеточном взаимодействии]

$$\hat{\mathcal{H}}_{\text{в-п}} = \sum_{\alpha\beta} \hat{h}_{\alpha\beta} e_{\alpha\beta}, \quad (11)$$

где $e_{\alpha\beta}$ — тензор деформаций, находим

$$\frac{1}{T_2} = \frac{6}{\pi^3 \rho^2 v^{10} \hbar^2} \left(\frac{kT}{\hbar} \right)^5 \left| \sum_{\alpha\beta} \langle \psi_{\perp}^{(1)} | \hat{h}_{\alpha\beta} | \psi_{\perp}^{(2)} \rangle \sum_{\alpha\beta} \langle \psi_{\perp}^{(2)} | \hat{h}_{\alpha\beta} | \psi_5^{(0)} \rangle - \sum_{\alpha\beta} \langle \psi_{\perp}^{(1)} | \hat{h}_{\alpha\beta} | \psi_{\perp}^{(2)} \rangle \sum_{\alpha\beta} \langle \psi_{\perp}^{(2)} | \hat{h}_{\alpha\beta} | \psi_5^{(0)} \rangle \right|^2. \quad (12)$$

С учетом явного вида волновых функций $\psi_{\perp}^{(1)}$, $\psi_{\perp}^{(2)}$, $\psi_5^{(0)}$ для $T \approx 45$ К и $\langle h \rangle \approx 10^{-13}$ эрг из (12) находим $1/T_2 \approx 2 \cdot 10^7$ Гц. Даже это (скорее всего заниженное) значение скорости CPP превышает уже величину скорости CPP вследствие прямого спин-решеточного взаимодействия, которое может быть получено с использованием экспериментальных данных [8]. Таким образом, в области ЛКН I рода возникает дополнительный эффективный механизм CPP. Отметим, что это обстоятельство позволяет объяснить значительное и быстрое уширение линий ЭПР в области ЛКН I рода Mn^{2+} в BaF_2 , которое наблюдалось в [2]. Отметим также, что возникновение подобного ускорения CPP за счет спин-туннельных состояний требует выполнения неравенства $\Delta \epsilon_1 > 1/T_2$ для спин-туннельного расщепления $\Delta \epsilon_1$ и полученной скорости релаксации $1/T_2$, что также согласуется с приведенными оценками.

2. Спин-решеточная релаксация в условиях локальной конфигурационной неустойчивости I рода. Эффект спин-туннельных состояний при смешивании вследствие спин-орбитального спин-флип туннелирования

Рассмотрим теперь ситуацию ЛКН II рода, где симметрия разрешает смешивание различных туннельных и спиновых состояний вследствие спин-орбитального спин-флип туннелирования [6]. К такого типа ситуациям относятся ЛКН I рода для Mn^+ в KCl [1]. Исследуем возникновение дополнительного механизма CPP в области наиболее низкотемпературного ЛКН I рода для Mn^+ в KCl — из тетрагональной фазы в ромбоздрическую, когда происходит совпадение энергий минимумов шестиямного и восьмиямного потенциалов с симметрией в отдельном минимуме C_{4v} и C_{3v} , соответственно ($T_{ЛКН} \approx 10$ К). Рассмотрим область температур $T < T_{ЛКН}$, но достаточно близких к $T_{ЛКН}$. При этом центр находится в низкотемпературной ромбоздрической фазе, где ион Mn^+ имеет восьмиямную конфигурацию. Спектр туннельных состояний состоит из двух трехкратно вырожденных T_{1g} и T_{2g} и двух невырожденных A_{2g} и A_{1g} (рис. 2). Спин $Mn^+ S=3$, и после наложения внешнего магнитного поля образуется развитая система уровней. Рассмотрим здесь спин-релаксационные процессы на примере пере-

хода $|A_{2u}+3\rangle \rightarrow |A_{1g}+2\rangle$. Как и в предыдущем случае, в исследуемой ситуации актуален двухфононный процесс СРР Блюма—Орбаха.¹ Для СРР на переходе $|A_{2u}+3\rangle \rightarrow |A_{1g}+2\rangle$ последний реализуется с использованием промежуточных состояний, образованных смесью состояний $|T_{1u}+3\rangle$ и $|T_{2g}+2\rangle$. При этом смешивание спиновых и туннельных состояний возникает в результате спин-орбитального взаимодействия (спин-орбитального спин-флип туннелирования). Волновые функции нулевого приближения для промежуточных состояний.

$$\psi_{1, 2, 3}^{(0)} = \psi_{T_{1u}}^{(1, 2, 3)} \eta_{+3}, \quad \psi_{4, 5, 6}^{(0)} = \psi_{T_{2g}}^{(1, 2, 3)} \eta_{+2}$$

вследствие спин-орбитального спин-флип туннелирования переходят в когерентные спин-туннельные состояния вида

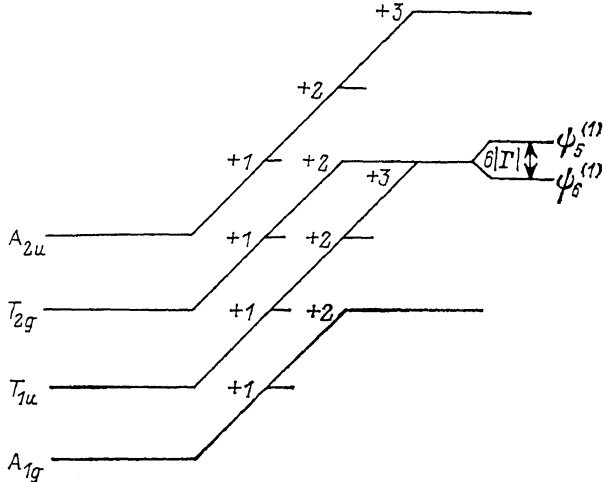


Рис. 2. Спин-туннельные состояния в случае KCl : Mn⁺ при совпадении туннельного и зеемановского расщеплений ($\Delta_T = g\beta H$).

Смешивание вызывается спин-туннельным спин-флип туннелированием. T_{1u} , T_{2g} — туннельные состояния в зеемановском потенциале Mn⁺. Электронный спин Mn⁺ $S = 3$. $\psi_5^{(1)}$, $\psi_6^{(1)}$ описываются (13).

$$\begin{aligned}\psi_1^{(1)} &= \frac{1}{2} \psi_1^{(0)} - \frac{1}{2} \psi_2^{(0)} + \frac{1}{2} \psi_4^{(0)} - \frac{1}{2} \psi_5^{(0)}, \\ \psi_2^{(1)} &= \frac{1}{2} \psi_2^{(0)} - \frac{1}{2} \psi_3^{(0)} + \frac{1}{2} \psi_4^{(0)} - \frac{1}{2} \psi_6^{(0)}, \\ \psi_3^{(1)} &= -\frac{1}{2} \psi_1^{(0)} + \frac{1}{2} \psi_3^{(0)} - \frac{1}{2} \psi_4^{(0)} + \frac{1}{2} \psi_6^{(0)}, \\ \psi_4^{(1)} &= -\frac{1}{2} \psi_1^{(0)} + \frac{1}{2} \psi_3^{(0)} + \frac{1}{2} \psi_5^{(0)} - \frac{1}{2} \psi_6^{(0)}, \\ \psi_5^{(1)} &= \frac{1}{\sqrt{6}} (\psi_1^{(0)} + \psi_2^{(0)} + \psi_3^{(0)} + \psi_4^{(0)} + \psi_5^{(0)} + \psi_6^{(0)}), \\ \psi_6^{(1)} &= -\frac{1}{\sqrt{6}} (\psi_1^{(0)} + \psi_2^{(0)} + \psi_3^{(0)} - \psi_4^{(0)} - \psi_5^{(0)} - \psi_6^{(0)}) \end{aligned} \quad (13)$$

с энергиями $\epsilon_{1, 2, 3, 4} = 0$, $\epsilon_5 = 3 |\Gamma|$, $\epsilon_6 = -3 |\Gamma|$, где $\Gamma = \langle T_{1u}+3 | \hat{\mathcal{H}}_{so} | T_{2g}+2 \rangle$ — спин-орбитальный туннельный матричный элемент. В качестве промежуточных состояний в процессе Блюма—Орбаха активны $\psi_5^{(1)}$ и $\psi_6^{(1)}$. В результате скорость двухфононной СРР на однофононном, не зависящем от спина ион-решеточном взаимодействии (11) представляется в виде

$$\frac{1}{T_2} = \frac{12}{\pi^3 \rho^2 v^{10} \hbar^2} \left(\frac{kT}{\hbar} \right)^5 \left| \sum_{\alpha\beta} \langle A_{2u} + 3 | \hat{h}_{\alpha\beta} | \psi_6^{(1)} \rangle \sum_{\alpha\beta} \langle \psi_6^{(1)} | \hat{h}_{\alpha\beta} | A_{1g} + 2 \rangle - \sum_{\alpha\beta} \langle A_{2u} + 3 | \hat{h}_{\alpha\beta} | \psi_6^{(1)} \rangle \sum_{\alpha\beta} \langle \psi_6^{(1)} | \hat{h}_{\alpha\beta} | A_{1g} + 2 \rangle \right|^2. \quad (14)$$

Для температуры $T=10$ К с использованием характерного значения константы ион-решеточного взаимодействия $\langle h \rangle \approx 4 \cdot 10^{-14}$ эрг получаем из (14) оценку $1/T_2 \approx 10^7$ Гц. Таким образом, и в этом случае в области ЛКН I рода имеет место существенное увеличение скорости CPP, которое позволяет объяснить наблюдавшееся в области перехода от тетрагональной в ромбоэдрическую фазу уширение линии ЭПР Mn^{+} в KCl [1]. Отметим, что выполнение условия существования спин-туннельных состояний, приводящих к ускорению CPP в области ЛКН, а именно $|\Gamma| > 1/T_2$, здесь является существенно более мягким, чем в предыдущем случае, так как определяется большей по сравнению с константой суперсверхтонкого взаимодействия величиной спин-орбитального матричного элемента.

3. Спин-решеточная релаксация в условиях локальной конфигурационной неустойчивости. Комбинационное рассеяние фононов при спин-орбитальном спин-флип туннелировании и спин-туннельном смешивании благодаря суперсверхтонкому взаимодействию

В разделах 1 и 2 были проведены расчеты времени поперечной CPP, вызванной не зависящим от спина ион-решеточным взаимодействием, для центров, испытывающих ЛКН I рода. Однако существенный интерес представляют расчеты времени продольной спин-решеточной релаксации, связанной с индуцированными решеткой переходами непосредственно между уровнями, которые участвуют в спиновом резонансе, для центров, подверженных ЛКН I рода. Для таких переходов не во всех случаях реализуются механизмы двухфононной CPP в мультиплетах (процессы Блюма—Орбаха).

Как мы покажем в этом разделе, и для $1/T_1$ имеет место ускорение CPP в области ЛКН. Рассмотрим поведение $1/T_1$ в области ЛКН в ситуациях $BaF_2 \cdot Mn^{2+}$ и $KCl : Cu^0$.

Сначала вычислим время продольной CPP для случая $BaF_2 : Mn^{2+}$. По-прежнему будем рассматривать ситуацию вырождения спин-туннельных состояний с различными спиновыми и туннельными квантовыми числами при равенстве туннельных и зеемановских расщеплений ($\Delta_T = g\beta H$). В качестве смешивающего взаимодействия будем, как и прежде, использовать CCTB. Воспользуемся определенными в разделе смешанными волновыми функциями и значениями спин-туннельных расщеплений. Возникающая структура спин-туннельных состояний представлена на рис. 1.

Рассмотрим переходы $\psi_+^{(2)}, \psi_-^{(2)} \rightarrow \psi_6^{(0)}$. Состояния $\psi_6^{(0)}$ и $\psi_+^{(2)}, \psi_-^{(2)}$ разделены энергетическим зазором $\Delta \sim g\beta H$, и именно между ними происходит переход, регистрируемый методом ЭПР. Релаксационные переходы $\psi_+^{(2)} \rightarrow \psi_6^{(0)}$ и $\psi_-^{(2)} \rightarrow \psi_6^{(0)}$ будут давать прямой вклад во время продольной релаксации.

Учитывая актуальный интервал высоких температур (для $BaF_2 : Mn^{2+}$ $T_{ЛКН} \approx 45$ К), рассмотрим двухфононный рамановский процесс на не зависящем от спина ион-решеточном взаимодействии второго порядка

$$\hat{\mathcal{H}}_{\text{и-р}} = \sum_{\alpha\beta\gamma\delta} \hat{h}_{\alpha\beta\gamma\delta} e_{\alpha\beta} e_{\gamma\delta} \quad (15)$$

Учитывая явный вид волновых функций $\psi_+^{(2)}$ (7), $\psi_-^{(2)}$ (8) и $\psi_6^{(0)}$, для времени релаксации двухфононной рамановской CPP получим

$$\frac{1}{T_1^{(+)}} = (0.573)^2 \frac{16\pi^4 V^2}{\rho^2 v^{10}} 6! \left(\frac{kT}{\hbar} \right)^7 \quad (16)$$

для перехода $\psi_+^{(2)} \rightarrow \psi_5^{(0)}$ и

$$\frac{1}{T_1^{(-)}} = (0.819)^2 \frac{16\pi^4 V^2}{\rho^2 v^{10}} 6! \left(\frac{kT}{n}\right)^7 \quad (17)$$

для перехода $\psi_-^{(2)} \rightarrow \psi_5^{(0)}$.

Пользуясь характерным значением константы квадратичного ион-решеточного взаимодействия $V \approx 10^{-12}$ эрг, получим при $T=45$ К оценку $1/T_1^{(+)} \approx 1 \cdot 10^7$, $1/T_1^{(-)} \approx 8 \cdot 10^6$ Гц. Эти значения оказываются значениями того же порядка, что и $1/T_2$ при $T=45$ К, вызванного собственным спин-решеточным взаимодействием электронного спина Mn^{2+} , которое можно оценить из результатов работы [8]. Таким образом, даже рамановский процесс CPP для $1/T_1$ (в отсутствие более эффективного процесса CPP Блюма—Орбаха) приводит к заметному увеличению $1/T_1$ в области ЛКН.

В качестве примера CPP при ЛКН II рода рассмотрим случай парамагнитного иона Cu^0 в KCl [3], где в результате ЛКН возникает шестиямный потенциал, в каждом минимуме которого симметрия соответствует C_{4v} . Тип многоядерного потенциала и возникающие здесь туннельные состояния $|A_{1g}\rangle$, $|E_g^0\rangle$, $|E_g^e\rangle$, $|T_{1ux}\rangle$, $|T_{1uy}\rangle$, $|T_{1uz}\rangle$ таковы, что изотропное CCTB приводит к спин-туннельному смешиванию лишь за счет эффекта перекрытия одноядерных состояний, что является пренебрежимо малым эффектом. С другой стороны, спин-туннельное смешивание вследствие анизотропного CCTB для Cu^0 в KCl оказалось также достаточно малым. В этой ситуации единственным эффективным механизмом формирования спин-туннельных состояний является спин-орбитальное спин-флип туннелирование [6].

Рассматривая актуальную ситуацию вырождения различных спиновых и туннельных состояний в области ЛКН (например, $\psi_1^{(0)} = \psi_{A_{1g}} \eta_{+1/2}$ и $\psi_{2,3}^{(0)} = \psi_{E_g}^{(1,2)} \eta_{-1/2}$, в результате смешивания этих состояний, приходим к ко-герентным спин-туннельным состояниям

$$\begin{aligned} \psi_1 &= \frac{1}{\sqrt{2}} \psi_1^{(0)} - \frac{1}{2} \psi_2^{(0)} - \frac{1}{2} \psi_3^{(0)}, \\ \psi_2 &= \frac{1}{\sqrt{2}} (\psi_2^{(0)} - \psi_3^{(0)}), \\ \psi_3 &= \frac{1}{\sqrt{2}} \psi_1^{(0)} + \frac{1}{2} \psi_2^{(0)} + \frac{1}{2} \psi_3^{(0)} \end{aligned} \quad (18)$$

с энергиями $\epsilon_2 = 0$, $\epsilon_{3,1} = \pm \sqrt{2} |\langle A_{1g} + 1/2 | \hat{\mathcal{H}}_{so} | E_g - 1/2 \rangle|$.

Благодаря весьма значительной величине спин-орбитального взаимодействия в случае атома меди и не слишком малого значения интеграла перекрытия одноядерных состояний следует ожидать, что критерий существования спин-туннельных состояний $|\langle A_{1g} + 1/2 | \hat{\mathcal{H}}_{so} | E_g - 1/2 \rangle| \gg 1/\tau$, где $1/\tau$ — скорость спин-туннельной CPP, является достаточно мягким.

В отличие от предыдущих случаев двухфононный процесс CPP Блюма—Орбаха для центра $KCl : Cu^0$ является малоэффективным. Наиболее актуальными спин-релаксационными процессами в случае $KCl : Cu^0$ в области $T \leq T_{ЛКН} \approx 45$ К будут двухфононные рамановские процессы. Рассмотрим процесс двухфононной рамановской CPP, которая приводит к переходам между начальными состояниями ψ_1 , ψ_3 и конечным $\psi_4^{(0)} = \psi_{A_{1g}} \eta_{-1/2}$ (рис. 3). По-прежнему в качестве возмущения будем рассматривать не зависящее от спина ион-решеточное взаимодействие, а именно квадратичное ион-решеточное взаимодействие

$$\hat{\mathcal{H}}_{\text{и-р}} = \sum_{\alpha\beta\gamma\delta} h_{\alpha\beta\gamma\delta} e_{\alpha\beta} e_{\gamma\delta} \quad (19)$$

В результате для скорости рамановской CPP $\psi_3 \leftrightarrow \psi_4^{(0)}$, $\psi_1 \leftrightarrow \psi_4^{(0)}$ находим

$$\frac{1}{T_1} = \frac{1}{T_2} = \frac{1}{2} \frac{1}{\tau_{\text{т-р}}}, \quad (20)$$

$$\frac{1}{\tau_{\text{т-р}}} = \frac{16\pi^4 \langle h^2 \rangle}{\rho^2 v^{10}} 6! \left(\frac{kT}{h} \right)^7, \quad (21)$$

где $1/\tau_{\text{т-р}}$ — скорость соответствующей туннельно-решеточной релаксации. Используя для $\langle h^2 \rangle^{1/2}$ значение $\langle h^2 \rangle^{1/2} \sim 10^{-13}$ эрг, что уступает обычно реализуемым значениям квадратичных констант ион-решеточной связи, получим из (20) и (21) $1/T_1 = 1/T_2 \approx 4 \cdot 10^7$ Гц для температуры $T \approx 40$ К, где, как ожидается, уже выполняется критерий туннельного приближения $(T_{\text{ЛКН}} - T) / T \sim 1/9$. Полученное значение скорости СРР свидетельствует о существенном ускорении СРР в области ЛКН и позволяет интерпретировать наблюдаемое [3] значительное уширение линий ЭПР Cu^0 в KCl в области ЛКН.

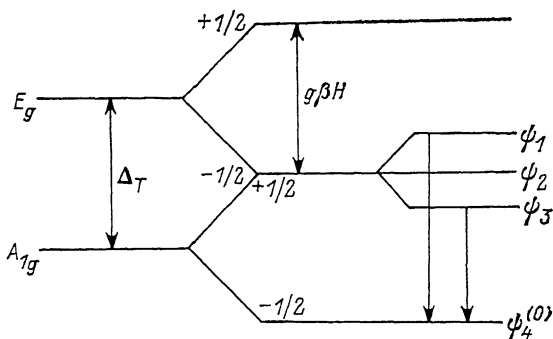


Рис. 3. Спин-туннельные состояния в случае KCl : Cu⁰ при совпадении туннельного и зеемановского расщеплений ($\Delta_T = g\beta H$).

Смешивание вызывается спин-орбитальным спин-флип туннелированием. E_g , A_{1g} — туннельные состояния в шестиямном потенциале Cu⁰. Электронный спин Cu⁰ $S=1/2$.

4. Продольная спин-решеточная релаксация в условиях локальной конфигурационной неустойчивости вследствие вклада двухфононного процесса Блюма—Орбаха. Спин-туннельные состояния в условиях действия внутреннего электрического поля

Тем не менее двухфононные процессы Блюма—Орбаха, как и в случае $1/T_2$, могут принимать участие и при формировании $1/T_1$. Однако подобный вклад возникает вследствие влияния внутренних дефектных полей, обогащающих правила отбора для спин-фононных переходов в пределах мультиплета основного состояния. Рассмотрим этот механизм более подробно.

Вычисления времени продольной СРР для случая KCl : Mn⁺ проведем в предположении, что туннельные состояния в области ЛКН смешиваются внутренним дефектным электрическим полем. По-прежнему рассмотрим ситуацию вырождения спин-туннельных состояний ($\Delta_T = g\beta H$), при этом при вычислении $1/T_1$ будем использовать измененные дефектным полем волновые функции.

Так, благодаря взаимодействию с внутренним электрическим полем дефектов волновые функции состояний, которые могут формировать (при учете спин-орбитального спин-флип туннелирования) промежуточные состояния в процессе Блюма—Орбаха для ЭПР-переходов, имеют вид

$$\psi_{1,2,3}' = \psi_{T_{1u}}^{(1,2,3)} \eta_{+3} + \lambda_E \psi_{A_{2u}} \eta_{+3} + \sum_a, \quad \psi_{4,5,6}' = \psi_{T_{2g}}^{(1,2,3)} \eta_{+2} + \lambda_E \sum_{i=1}^3 \psi_{T_{1u}}^{(i)} \eta_{+2} + \sum_b, \quad (22)$$

где $\lambda_E = eE_{\text{вн}}x_0/\Delta_T$ — фактор смешивания туннельных состояний внутренним электрическим полем дефектов ($x_0(T)$ — смещение равновесного положения примесного иона из узла решетки, Δ_T — туннельное расщепление), Σ_a , Σ_b соответствуют перемешиванию других туннельных состояний, которые не проявляются в процессе продольной CPP Блюма—Орбаха в исследуемом случае.

Вследствие спин-орбитального спин-флип туннелирования полученные в (22) волновые функции смешиваются и образуют волновые функции когерентных спин-туннельных состояний, которые и являются промежуточными состояниями при формировании процесса Блюма—Орбаха для перехода $|A_{2u}+3\rangle \rightarrow |A_{2u}+2\rangle$. Эти промежуточные состояния описываются линейными комбинациями вида (13) с единственным отличием от (13) — заменой $\psi_i^{(0)} \rightarrow \psi_i^{(0)'}.$ Полученные при учете спин-орбитального спин-флип туннелирования на основе $\psi_i^{(0)'}$ волновые функции когерентных спин-туннельных состояний будем обозначать как $\psi_i^{(2)}$ ($i=1, \dots, 6$).

Тогда для перехода $|A_{2u}+3\rangle \rightarrow |A_{2u}+2\rangle$, который вносит вклад во время продольной CPP, с использованием промежуточных состояний $\psi_5^{(2)}$ и $\psi_6^{(2)}$ получим

$$\frac{1}{T_1} = \frac{12}{\pi^3 \rho^2 v^{10} \hbar^2} \left(\frac{kT}{\hbar}\right)^5 \left| \sum_{\alpha\beta} \langle A_{2u} + 3 | \hat{h}_{\alpha\beta} | \psi_5^{(2)} \rangle \sum_{\alpha\beta} \langle \psi_5^{(2)} | \hat{h}_{\alpha\beta} | A_{2u} + 2 \rangle - \sum_{\alpha\beta} \langle A_{2u} + 3 | \hat{h}_{\alpha\beta} | \psi_6^{(2)} \rangle \langle \psi_6^{(2)} | \hat{h}_{\alpha\beta} | A_{2u} + 2 \rangle \right|^2 \quad (23)$$

Учитывая явный вид $\psi_5^{(2)}$ и $\psi_6^{(2)}$, получаем для процессов двухфононной CPP Блюма—Орбаха

$$\frac{1}{T_1} = \langle \lambda_E^2 \rangle \frac{1}{T_2}. \quad (24)$$

Здесь $1/T_2$ — время поперечной релаксации, вычисленное в разделе 2, $\langle \lambda_E^2 \rangle$ — среднее значение квадрата фактора смешивания, пропорциональное второму моменту функции распределения внутреннего электрического поля $\langle \lambda_E^2 \rangle \sim \langle E^2 \rangle$. Используя те же, что и в разделе 2, значения температуры $T \simeq 10$ К и константы ион-решеточного взаимодействия $V \simeq \approx 4 \cdot 10^{-14}$ эрг, а также значения $E_{\text{вн}} \simeq 10$ кВ/см, $x_0 \simeq 0.5$ Å, $\Delta_T \sim 10^{11}$ Гц, получаем оценку $1/T_1 \simeq 10^5$ Гц.

Приведенное выражение (24) справедливо при выполнении условия $1/\tau_{ss} \gg 1/T_1$, где $1/\tau_{ss}$ — время спин-спиновой релаксации в системе парамагнитных центров. Поскольку при обычных концентрациях центров $n \simeq 10^{17} \div 10^{18}$ см⁻³ величина $1/\tau_{ss} \simeq 10^6 \div 10^7$ Гц, критерий $1/\tau_{ss} \gg 1/T_1$ в рассмотренном случае выполняется.

Отметим, что полученное время продольной релаксации на два порядка превосходит время поперечной релаксации благодаря малости фактора $\langle \lambda_E^2 \rangle \sim 0.01$, однако $1/T_1$ будет быстро возрастать с ростом $\langle E^2 \rangle$ вплоть до значений $1/T_2 \simeq 1/T_1$.

В заключение отметим, что во всех рассмотренных случаях, когда в области ЛКН эффективен двухфононный процесс CPP Блюма—Орбаха с участием смешанных по спину спин-туннельных состояний (при формировании $1/T_2$ для BaF₂:Mn²⁺ и $1/T_1$, $1/T_2$ для KCl:Mn⁺), реализуется также и однофононный орбаховский процесс CPP с участием тех возбужденных низколежащих состояний, которые участвуют как виртуальные в процессе Блюма—Орбаха.

Это увеличивает эффект ускорения CPP в области ЛКН, однако незначительно, так как однофононный процесс Орбаха происходит при поглощении и испускании достаточно низкочастотных фононов с энергией $h\nu$ порядка $\Delta_T = g\beta H$.

Список литературы

- [1] Бадалян А. Г., Баранов П. Г., Вихнин В. С., Петросян М. М., Храмцов В. А. // ЖЭТФ. 1985. Т. 88. № 4. С. 1359—1368.
- [2] Бадалян А. Г., Баранов П. Г., Вихнин В. С., Храмцов В. А. // Письма в ЖЭТФ. 1986. Т. 44. № 2. С. 87—89.
- [3] Бадалян А. Г., Баранов П. Г., Вихнин В. С., Петросян М. М., Храмцов В. А. // ФТТ. 1987. Т. 29. № 2. С. 472—479.
- [4] Вихнин В. С., Волков А. А., Гончаров Ю. Г., Козлов Г. В. // ФТТ. 1988. Т. 30. № 4. С. 1207—1210.
- [5] Афанасьев С. Е., Вихнин В. С. // ФТТ. 1989. Т. 31. № 8. С. 299—302.
- [6] Вихнин В. С. // ФТТ. 1976. Т. 18. № 5. С. 1468—1470.
- [7] Абрагам А., Блинни Б. Электронный парамагнитный резонанс переходных ионов. М.: Мир, 1972. Т. 1. 651 с.
- [8] Horak J. B., Nolle A. W. // Phys. Rev. 1967. V. 153. N 2. P. 372—378.

Физико-технический институт
им. А. Ф. Иоффе
Ленинград

Поступило в Редакцию
4 декабря 1990 г.